



بیست و سومین کنفرانس اپتیک و فوتونیک و نهمین کنفرانس مهندسی و فناوری فوتونیک ایران

دانشگاه تربیت مدرس

۱۳۹۵-۱۴-۱۲

23rd Iranian Conference on Optics and Photonics and 9th Conference on Photonics Engineering and Technology

Tarbiat Modares University, Tehran, Iran

January 31- February 2, 2017



## بررسی خواص کانونی تیغه‌ی منطقه‌ای فرنل گلبرگی

آرش ثباتیان، مرجان گل‌بندی

گروه فیزیک ، دانشکده علوم، دانشگاه ارومیه، ارومیه

چکیده – در این کار عدسی پراشی بر مبنای تیغه‌ی منطقه‌ای فرنل معرفی می‌شود که تیغه‌ی ناحیه‌ی گلبرگی نامیده می‌شود. این عنصر جدید قادر است که موج تخت فرودی را به انواع متنوعی از باریکه‌های نوری مثلًا حلقوی، نقطه‌ای یا گلبرگی تبدیل کند. خواص کانونی و خارج کانونی این عنصر بررسی می‌شود. به عنوان نتیجه، نشان داده می‌شود که شکل باریکه‌ی تولید شده به تعداد گلبرگ‌های این عنصر بستگی دارد. نتایج شبیه سازی با کارهای تجربی تایید می‌شود.

کلید واژه- پراش فرنل ، تیغه‌ی منطقه‌ای فرنل گلبرگی، عدسی پراشی ، تیغه‌ی منطقه‌ای فرنل .

## Focusing characteristics of petal-like zone plate

Arash sabatyan, Marjan golbandi

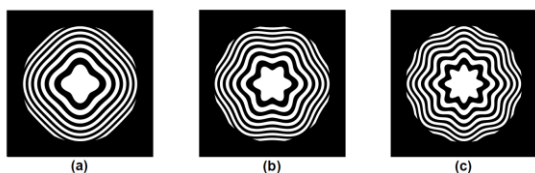
Department of physics, Faculty of science ,Urmia university , Urmia

Abstract– In this work, we propose a novel diffractive lens base on Fresnel zone plate, which is called petal-like zone plate. This diffractive element can turn an incident plane wave into variety of shapes, for example annular, dot or petal beam, in general. We probe its focusing and defocusing properties. As a result, it is revealed that the shape of the generated beam depends directly on the number of the petals. All simulation results are verified by experiments.

Keywords: Fresnel diffraction, Diffractive lens, Fresnel zone plate, Petal-like zone plate.

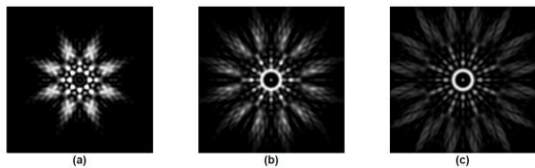
شده با تعداد گلبرگ های متفاوت را در صفحه کانون، قبل و بعد از کانون بررسی کنیم و نتایج حاصل را با هم مقایسه کنیم.

در ابتدا تعداد گلبرگها را برابر ۴، ۶ و ۸ در نظر می گیریم که نمونه ای از آنها در شکل ۱ نشان داده شده است.



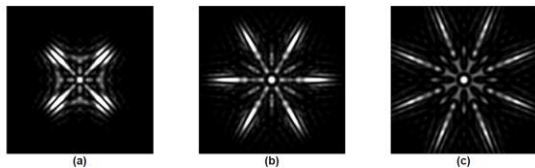
شکل ۱: نمونه ای از عناصر طراحی شده با تعداد گلبرگ های (a) چهار (b) شش (c) هشت.

توزیع شدت کانونی این عناصر در شکل ۲ داده شده است.



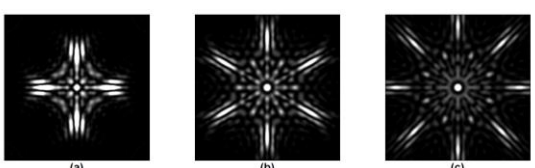
شکل ۲: توزیع شدت در فاصله کانونی برای گلبرگ های (a) چهار (b) شش (c) هشت

برای بررسی خواص خارج از کانون این عناصر توزیع شدت در فاصله  $475\text{ mm}$  در شکل ۳ نشان داده شده است.



شکل ۳: توزیع شدت در فاصله  $475\text{ mm}$  برای گلبرگ های (a) چهار (b) شش (c) هشت

همچنین توزیع شدت ها در فاصله  $525\text{ mm}$  در شکل ۴ قابل مشاهده است :



شکل ۴: توزیع شدت در فاصله  $525\text{ mm}$  برای گلبرگ های (a) چهار (b) شش (c) هشت

سپس با افزایش تعداد گلبرگها به  $۱۲، ۱۸، ۲۵$  عناصر جدید طراحی شدند که نمونه ای از آنها را در شکل ۵ نشان داده ایم :

## ۱- مقدمه

تیغه‌ی منطقه‌ای فرنل یک قطعه‌ی پراشی همگرا کننده با حلقه‌های روشن و تاریک متحده مرکز است که نور را در یک نقطه کانونی می کند. این قطعه به دلیل داردن وزن و حجم کم، ارزان بودن و قابلیت ترکیب با سایر عناصر اپتیکی، توجه زیادی را به خود جلب کرده است. از جمله کاربردهای تیغه‌ی فرنل، کانونی کردن اشعه  $x$  و ماوراءپنجه است که این کار با استفاده از عدسی های شکستی به دلیل جاذب بودن آن ها امکان پذیر نیست [۱]. قبل از ساختارهای از تیغه‌ی منطقه‌ای فرنل در شکل های مربعی، متعامد و تک بعدی معرفی و مورد مطالعه قرار گرفته بود [۲,۳,۴]. در این مقاله نوع جدیدی از تیغه فرنل معرفی میشود که نواحی فرنل آن به شکل گلبرگ است بنابراین تیغه‌ی فرنل گلبرگی نامیده می شود. در ادامه به بررسی خواص این قطعه جدید در کانون و خارج کانون با تعداد گلبرگ های متفاوت می پردازیم.

## ۲- تئوری مقاله و شبیه سازی

تیغه‌ی فرنل را می توان به صورت یکتابع شبه تناوبی در نظر گرفت که تابع روزنه‌ی آن را می توان به صورت تابع سری فوریه نوشت: [۵]

$$f(r) = \sum_{-\infty}^{+\infty} c_n \exp[-i2\pi r^2 / r_1^2] \quad (1)$$

$c_n$  دامنه میدان پراش یافته مرتبه  $\ln a$  است. همچنین داریم:

$$r_1 = \sqrt{2\lambda f}$$

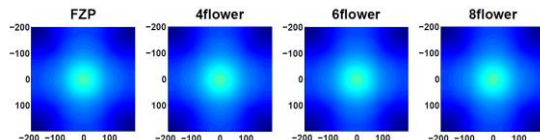
$r_1$  شعاع اولین نوار روشن است.  $\lambda$  طول موج فرودی و  $f$  فاصله‌ی کانونی تیغه‌ی فرنل است. برای به دست آوردن تابع عبور تیغه‌ی جدید تابع  $\cos(a\theta)$  را به فاز تابع عبور تیغه‌ی فرنل اضافه کرده در نتیجه تابع عبور تیغه‌ی جدید به صورت زیر در می آید:

$$t = \exp[-i\pi((r - \alpha)\cos(a\theta))^2 / \lambda f] \quad (2)$$

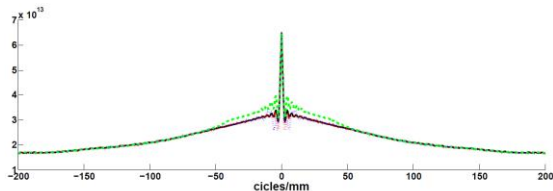
که در آن  $a$  تعداد گلبرگ ها و  $\alpha$  یک کمیت صحیح مثبت است. با داشتن مقدار فاصله کانونی و مقدار طول موج مشخص، می توان عدسی مورد نظر را طراحی کرد.

لازم به ذکر است عناصر مورد نظر دارای فاصله کانونی  $mm$ ،  $۵,۰$  را برابر  $۱,۰$  و طول موج کاری  $632,8\text{ nm}$  در نظر گرفته شدند. می خواهیم خواص کانونی عدسی های طراحی

عادی در مقایسه با فرنل گلبرگی با تعداد گلبرگ‌های ۴,۶,۸ به ترتیب رسم شده است.

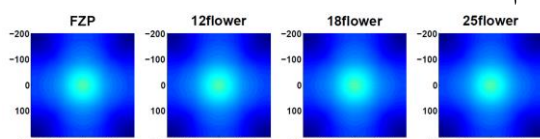


شکل ۹: توزیع شدتتابع انتقال نوری برای فرنل عادی در مقایسه با ۶, ۴ و ۸ برج

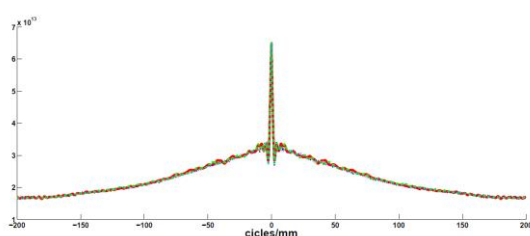


شکل ۱۰: نمودار شدتتابع انتقال نوری برای فرنل عادی در مقایسه با ۶, ۴ و ۸ برج

نهایتاً برای تعداد گلبرگ‌های ۱۲, ۱۸, ۲۵ نیز تابع انتقال نوری (OTF) را در مقایسه با فرنل عادی بررسی کردیم. که در شکل ۱۱ و ۱۲ توزیع شدت و نمودار شدت OTF به ترتیب رسم شده است.



شکل ۱۱: توزیع شدتتابع انتقال نوری برای فرنل عادی در مقایسه با ۲۵, ۱۸, ۱۲ برج

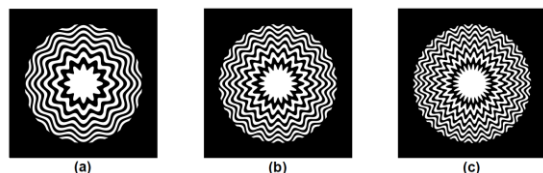


شکل ۱۲: نمودار شدتتابع انتقال نوری برای فرنل عادی در مقایسه با ۲۵, ۱۸, ۱۲ برج

با مقایسه تابع انتقال نوری فرنل عادی و گلبرگی مشاهده می‌شود که هر چه تعداد گلبرگ بیشتر تابع انتقال نوری فرنل گلبرگی به تیغه‌ی فرنل عادی نزدیکتر می‌شود.

### ۳-نتایج تجربی

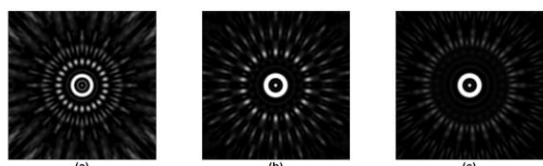
نمونه‌های طراحی شده در این مقاله با استفاده از فرآیند



شکل ۵: عناصر طراحی شده با تعداد گلبرگ‌های (a) دوازده (b) هجده (c) بیست و پنج

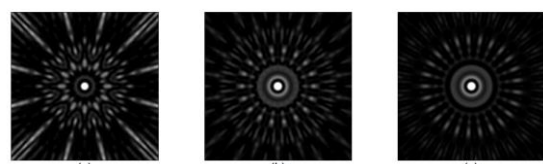
و مانند قبل، توزیع شدت در نقاط کانون برای عدسی‌های با تعداد گلبرگ‌های ۱۲, ۱۸ و ۲۵ نیز بدست آمده که در

شکل ۶ نشان داده شده است:



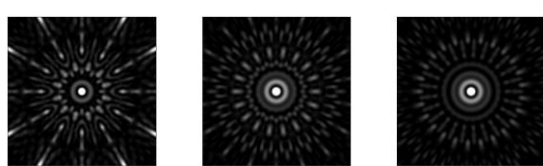
شکل ۶: توزیع شدت در فاصله‌ی کانونی برای گلبرگ‌های (a) دوازده (b) هجده (c) بیست و پنج

در ادامه شکل ۷ توزیع شدت برای گلبرگ‌های ۱۲, ۱۸ و ۲۵ در فاصله ۴۷۵ mm قبیل از کانون را نشان می‌دهد:



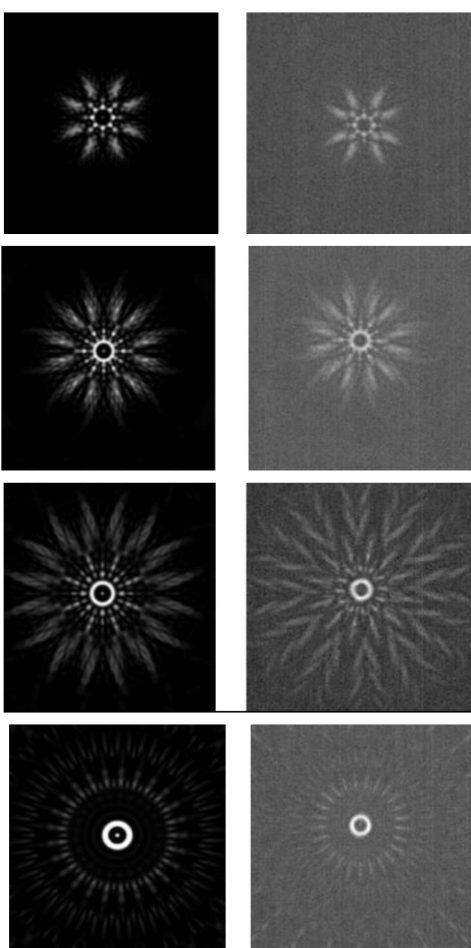
شکل ۷: توزیع شدت در فاصله f-25 برای گلبرگ‌های (a) دوازده (b) هجده (c) بیست و پنج

مرحله آخر توزیع شدت گلبرگ‌های ۱۲, ۱۸ و ۲۵ در فاصله ۵۲۵ mm بعد از کانون است که شکل ۸ آنرا نشان می‌دهد:



شکل ۸: توزیع شدت در فاصله f+25 برای گلبرگ‌های (a) دوازده (b) هجده (c) بیست و پنج

در ادامه یکی از پارامترهای مهم و موثر در کیفیت و وضوح تصویر که تابع انتقال نوری (OTF) است، را برای فرنل عادی در مقایسه با فرنل گلبرگی را بررسی می‌کنیم. که در شکل ۹ و ۱۰ توزیع شدت و نمودار شدت OTF برای فرنل



شکل ۱۳ : مقایسه نتایج تجربی و شبیه سازی شده

لیتوگرافی چاپ شده اند. سپس نمونه ها تحت تابش نور لیزر ، هلیوم نئون که در چیدمان تلسکوپی ، پهنه و موازی شده است قرار میگیرد و توزیع شدت نمونه ها در فواصل کانون و قبل و بعد کانون ، توسط دوربین CCD ثبت میگردد. برای مقایسه، توزیع شدت شبیه سازی شده (ستون سمت چپ) و توزیع شدت تجربی (ستون سمت راست) برای تیغه فرنل گلبرگی به ترتیب از بالا به پایین ۴ ، ۶ ، ۱۸ و ۲۵ در شکل ۱۳ نشان داده شده است.

#### ۴- نتیجه گیری

در این مقاله نشان دادیم که می توان توسط تیغه فرنل گلبرگی در فاصله کانون و قبل و بعد کانون شدت های متفاوتی ایجاد کرد . بعلاوه تاثیر تعداد گلبرگها در شکل دهی به پرتوهای خروجی مورد مطالعه قرار گرفت . همچنین میتوان گفت در فواصل متقاضی پیش و پس از کانون (f-25 و f+25) توزیع های شدتی متفاوت با آنچه که در کانون ایجاد می شود تولید شد که نشان می دهد هیچ تقارنی برای توزیع شدت وجود ندارد. نتایج شبیه سازی توسط آزمایش تجربی نیز تایید شدند.

#### مراجع

- [1] M. Mihailescu<sup>a,\*</sup>, A. Preda<sup>a</sup>, D. Cojoc<sup>b</sup>, E. Scarlat<sup>a</sup>, L. Preda<sup>a</sup>"Diffraction patterns from a phyllotaxis-type arrangement" Opt. & Laser Eng. **46**, 802–809, (2008).
- [2] Arash Sabatyan, and Hiwa Besharatfar" ,Focusing behavior of azimuthally structured square zone plate", Opt. Quant. Elect. **48**, 383, (2016).
- [3] Arash Sabatyan, and Jila Rafighdoost" „Focusing specification of cross-like Fresnel zone plate", OPTIK,**126**, 4796-4799, (2015).
- [4] Arash Sabatyan and Shima Gharbi" ,Generation of double line focus and 1D non-diffractive beams using phase shifted linear Fresnel zone plate", Opt. Laser Tech., **69**, 65-70, (2016).
- [5] Arash Sabatyan, Seyyed Mojtaba Taheri Balanoji, and Seyyed Mortaza Taheri Balanoji" ,Square array optical vortices generated by multi-regioned spiral square zone plate ", JOSAA **33**, 1793-1797, (2016).

مقایسه نتایج تجربی و شبیه سازی شده :